

(Tiefethen-Baum, Lekcia 29)

V predstej lekcii sme videli QR algoritmus, ktory konverguje lineárne. Pomocou vhodne zvolenych posunov $A \rightarrow A - \mu I$ dosiahneme kubicku konvergenciu, podobne ako v inverznom iterovaní pomocou Rayleighových podielov - tie sa totiž v posunutom QR algoritme implicitne vyskytnú.

Inverzne iterovanie v QR algoritme

Nadalej predpokladajme, že $A \in M_{n \times n}(\mathbb{R})$ je realna a symetricka, má reálne vl. hodnoty $\{\lambda_j\}$ a ortonormálne vl. vektory q_j . (Alg-28.1)

V predstej lekcii sme si užali, že QR algoritmus je ekvivalentný simultánnemu iterovaniu, keď začneme s maticou identity. ($A^k I$)

Špeciálne prvý stĺpec výsledku zodpovedá maximálnemu iterovaniu s počiatocným vektorom e_1 .

V QR algoritme však môžeme objať aj simultánne inverzne iterovanie (t.j. násobenie maticou A^{-1}), ktoré pracuje s "preklopenou" identitou $P = \begin{pmatrix} 0 & & & 1 \\ & \ddots & & \\ & & 1 & \\ 1 & & & 0 \end{pmatrix}$, špeciálne m -tý stĺpec výsledku sa uchyja ako inverzne maximálne iterovanie s počiatocným vektorom e_m .

Podne to užať:

Nech $Q^{(k)}$ je ortogonálna matica z Q -teho kroku QR algoritmu a $Q^{(k)} = Q^{(1)} Q^{(2)} \dots Q^{(k)}$ je akumulovaný súčin takýchto matic:

$$Q^{(k)} = \prod_{j=1}^k Q^{(j)} = \left[q_1^{(k)} / q_2^{(k)} / \dots / q_m^{(k)} \right]$$

(v minulej prednáške som dal k vektorom $q_j^{(k)}$ podtrhnuté, ale zaoberáme sa q_j bez uho...)

Matrica $Q^{(k)}$ sa vyskytla v k-tom kroku simultanneho iterovania, t.j. $A^{-k} = \underline{Q}^{(k)} \underline{R}^{(k)}$.

Tuto rovnost môžeme invertovať:

$$A^{-k} = (\underline{R}^{(k)})^{-1} (\underline{Q}^{(k)})^T = \underline{Q}^{(k)} (\underline{R}^{(k)})^{-1T} \quad (*)$$

ale matrica A^{-k} je aj symetrická, takže aj transponovať

Toto nie je celkom QR rozklad matice A^{-k} , lebo $(\underline{R}^{(k)})^{-1T}$ je dolná trojuholníková. To sa však dá opraviť pomocou matice $P = \begin{pmatrix} & & 1 \\ & 1 & \\ 1 & & \end{pmatrix}$.

Vlasti $P^2 = I$, preto rovnost (*) vieme prepísať ako

$$A^{-k} P = [\underline{Q}^{(k)} P] [P (\underline{R}^{(k)})^{-1T} P]$$

Potom: $\underline{Q}^{(k)} P$ je ortogonálna a $P (\underline{R}^{(k)})^{-1T} P$ je

horná trojuholníková, lebo zľava prechodíme poradie riadkov a sprava poradie stĺpcov, čo z dolnej trojuholníkovy urobí hornú trojuholníkovú.

Dostaneme takto QR rozklad matice $A^{-k} P$, teda simultanne ~~iterovanie~~ iterovanie maticou A^{-1} , t.j. inverznej simultanne iterovanej pre maticu A .

Potom pre prvý stĺpec $A^{-k} P$ máme inverznej iterovanie prvého stĺpca matice $P - e_m$, neďakým spôsobom bude prvý stĺpec matice $\underline{Q}^{(k)} P$, t.j. posledný stĺpec matice $\underline{Q}^{(k)}$.

QR algoritmus s posunom a posunutě inverzně iterovanie S.2

V lekcii 27 sme videli, že inverzně iterovanie má veľkú úhodu oproti mocninovému iterovaniu, keďže to píše sa dáť varične vyčistiť voľbou posunu $\mu \approx \lambda$ a inverznym iterovanim $A - \mu I$.

A práve sme videli, že QR algoritmus v sebe obsahuje mocninové iterovanie (prvý stĺpec $Q^{(k)}$) a aj inverzně iterovanie (posledný stĺpec $Q^{(k)}$).

V algoritme 28.2 sme už videli, ako vieme vložiť posuny do "čistého" QR algoritmu. Jednak tým dosiahneme posuny v simultánnom iterovaní ale aj posun v inverznom iterovaní - čo bude mať za následok kubickú konvergenciu.

Pre QR algoritmus sme mali: pre posunutě

$$A^{(k-1)} = Q^{(k)} R^{(k)}$$

$$A^{(k)} = R^{(k)} Q^{(k)}$$

z toho

$$A^{(k)} = (Q^{(k)})^T A^{(k-1)} Q^{(k)}$$

$$= \underline{Q^{(k)T}} A \underline{Q^{(k)}}$$

a tiež

$$A^k = \underline{Q^{(k)}}^* \underline{R^{(k)}}$$

$$A - \mu^{(k-1)} I = Q^{(k)} R^{(k)}$$

$$A^{(k)} = R^{(k)} Q^{(k)} + \mu^{(k)} I$$

ďa rovnaký ~~iterovaní~~ výsledok

$$A^{(k)} = (Q^{(k)})^T A^{(k-1)} Q^{(k)}$$

$$= \underline{Q^{(k)T}} A \underline{Q^{(k)}}$$

Ale toto postúpne sa zmení na:

$$(A - \mu^{(k)} I)(A - \mu^{(k-1)} I) \dots (A - \mu^{(1)} I) = \underline{Q^{(k)}} \underline{R^{(k)}}$$

(bez dikami - cvičenia)

Teda $Q^{(k)} = \prod_{j=1}^k Q_j^{(j)}$ bude faktorizácia ortogonalizácia matice $\prod_{j=1}^k (A - \mu^{(j)} I)$.

Prvý stĺpec $Q^{(k)}$ bude zodpovedať posledným mocninovým iteráciám so zaciálnou e_1 a posledný $(n-1)$ stĺpec zodpovedá

inverznému iterovaniu s tým istým posunom, so začatoum Q_m . Ak sú posuny dobrou aproximáciou vln. hodnoty, potom posledný stĺpec $Q^{(k)}$ konverguje vzhľadom k vln. vektoru.

QR algoritmus a Rayleighov podiel

(s posunom)

V predstávanej diskusii sme zistili, že v QR algoritme sa ukryva aj inverzná iterácia (s posunom). Na doklepnutie myšlienky potrebujeme rozhodnute vybrať tieto posuny.

MOžeme začať s Rayleighovým podielom

- odhadovaný vln. vektor zodpovedá poslednému stĺpcu $Q^{(k)}$, teda vektoru $q_m^{(k)}$. Počítame sa na Rayleighov podiel pre tento vektor, a zoberieme ho ako posun:

$$r(q_m^{(k)}) = \frac{(q_m^{(k)})^T A q_m^{(k)}}{(q_m^{(k)})^T q_m^{(k)}} = (q_m^{(k)})^T A q_m^{(k)} = \mu^{(k)}$$

→ Takto zvolené $\mu^{(k)}$ a $q_m^{(k)}$ dá inverznú iteráciu s Rayleighovým podielom pre počiatočný vektor e_m . →

maťme kubickú konvergenciu (ak to konverguje)

V skutočnosti $r(q_m^{(k)})$ nebude počítat, lebo

zo vzťahu $A^{(k)} = (Q^{(k)})^T A Q^{(k)}$ máme pre

pozíciu (m,m) nasledovne:

$$A_{(m,m)}^{(k)} = e_m^T A^{(k)} e_m = e_m^T (Q^{(k)})^T A Q^{(k)} e_m = (q_m^{(k)})^T A q_m^{(k)}$$

Preto stačí voliť $\mu^{(k)} = A_{m,m}^{(k)}$.

Takýto posun sa nazýva posun o Rayleighov podiel.

Wilkinsonov posun

V genericom prípade vedie Rayleighov posun v QR algoritme ku kubickej konvergencii, ak existujú počiatočné podmienky, kedy to tak nebude.

Zoberme maticu $A = \begin{bmatrix} 0 & 1 \\ 1 & 0 \end{bmatrix}$.

Pre QR algoritmus bez posunu máme:

$$A = Q^{(1)} R^{(1)} = \begin{bmatrix} 0 & 1 \\ 1 & 0 \end{bmatrix} \begin{bmatrix} 1 & 0 \\ 0 & 1 \end{bmatrix}$$

$$a \quad A^{(1)} = R^{(1)} Q^{(1)} = \begin{bmatrix} 1 & 0 \\ 0 & 1 \end{bmatrix} \begin{bmatrix} 0 & 1 \\ 1 & 0 \end{bmatrix} = A.$$

Teda konvergenciu k ~~ke~~ diagonálnej matici nemáme. (dovod $|\lambda_1| = |\lambda_2|$)

Podobne Rayleighov podiel $\mu = A_{m,m} = 0$, teda ani "posun" nič nezlepši.

V najhoršom prípade QR algoritmus s ^{posunom 0} Rayleighov podiel zlyháva.

Príčina sa na príčinu zlyhania: jedna vl. hodnota je $+1$, druhá -1 , odhad $\mu = A_{2,2}$ je 0 - presne v strede medzi nimi, pričom aj posun zostáva 0 - sme uviaznutí medzi nimi...

Treba nejako táto symetria narušiť. To sa dá pomocou tzv. Wilkinsonovo posunu: Namiesto $A_{m,m}^{(k)}$ sa použijeme

na 2×2 podmaticu $B = \begin{bmatrix} a_{m-1} & b_{m-1} \\ b_{m-1} & a_m \end{bmatrix}$ matice $A^{(k)}$.

Vl. hodnoty

$$\begin{aligned} \chi &= \lambda^2 - (a_m + a_{m-1})\lambda + (a_m a_{m-1} - b_{m-1}^2) \\ \lambda_{1,2} &= \frac{+(a_m + a_{m-1}) \pm \sqrt{(a_m + a_{m-1})^2 - 4(a_m a_{m-1} - b_{m-1}^2)}}{2} \\ &= \frac{+a_m + a_{m-1}}{2} \pm \sqrt{\frac{(a_m - a_{m-1})^2}{4} + b_{m-1}^2} \\ &= a_m + \frac{a_m - a_{m-1}}{2} \pm \sqrt{\frac{(a_m - a_{m-1})^2}{4} + b_{m-1}^2} = a_m + \delta \pm \sqrt{\delta^2 + b_{m-1}^2} \end{aligned}$$

$$-b_{m-1}^2 = |\delta|^2 - (\delta^2 + b_{m-1}^2) = (|\delta| + \sqrt{\delta^2 + b_{m-1}^2})(|\delta| - \sqrt{\delta^2 + b_{m-1}^2})$$

$$\text{takže } |\delta| - \sqrt{\delta^2 + b_{m-1}^2} = \frac{-b_{m-1}^2}{|\delta| + \sqrt{\delta^2 + b_{m-1}^2}}$$

→ to vedie k vzorcu

$$\mu = a_m - \text{sign}(\delta) \frac{b_{m-1}^2}{(|\delta| + \sqrt{\delta^2 + b_{m-1}^2})},$$

ktorý je numericky stabilný. $\delta = \frac{a_{m-1} - a_m}{2}$

Ke $\delta = 0$ sa dá zvoliť $\text{sign}(\delta)$ 0 alebo 1, potom

$$\mu = a_m \pm b_{m-1}.$$

Podobne ako posun o Rayleighov podiel, Wilkinsonov posun dáva ~~je~~ v generickom prípade ~~posun~~ kubickú konvergenciu. V najhoršom prípade bude konvergencia kvadratická, teda

QR algoritmus s Wilkinsonovým posunom vždy konverguje (v presnej aritmetike).

V prípade, ktorý robí problém je ^{Wilk.} posun $\mu = 0 \pm 1 = \pm 1$, teda symetria sa narúša a konvergencia dosiahneme na jlen krok.

Stabilita a presnosť

základného mechanizmu

Týmto sme ukončili diskusiu o QR algoritme, aj keď mnohé praktické detaily sa týkajú (podmienky deflácie, stratégie posunov...)

Patrilo by sa povedať niečo o stabilite a presnosti.

Keďže považujeme ortogonálne matice, podmienenosť je 1, takže ~~by sa~~ podľa očakávania dostaneme

Spätne stabilitu algoritmu

Tento výsledok sa dá stimulovať nasledovne:

$\tilde{\Lambda}$ je diagonalizácia A spočítaná vo floating point aritmetike, \tilde{Q} je (práve) ortogonálna matica, ktorú dostaneme ako súčin Householderových reflexií (resp. Givensových rotácií), ktoré používame v QR rozkladoch počas výpočtu.

Potom máme:

Veta Pre reálnu, symetrickú maticu A diagonalizovanú QR algoritmom na počítači splňajúcom axiómy B.5 a B.7 s výsledkom $\tilde{\Lambda}, \tilde{Q}$ platí:

$$\tilde{Q} \tilde{\Lambda} \tilde{Q}^* = A + \delta A \quad \text{s} \quad \frac{\|\delta A\|}{\|A\|} = O(\epsilon_{\text{machine}}).$$

pre nejakú $\delta A \in \mathbb{R}^{n \times n}(\mathbb{C})$.

Teda QR algoritmus vypočíta presné riešenie miernu perturbovaného systému.

Spojením s podobnou vetou pre tri-diagonalizáciu máme, že tri-diagonalizácia nasledovaná QR iterovaním je spätne stabilný algoritmus pre výpočet vl. hodnôt.

Spolu s výsledkom ovičenia 26.4 (perturbáciách vl. hodnôt $(D\tilde{U})$ (keďže reálne symetrické matice sú normálne) máme:

$$\frac{|\tilde{\lambda}_j - \lambda_j|}{\|A\|} = O(\epsilon_{\text{machine}}).$$

Pritom cena, za takúto presnosť je $\sim \frac{4}{3} n^3$ flopar v prvej fáze a $O(n^2)$ flopar v druhej (lebo tri-diag.).

Pritom na súčin dvoch $n \times n$ matic potrebujeme $2n^3$ flopar. Čiže za $\frac{2}{3}$ ceny násobenia matic máme vl. hodnoty. Nie zlé...

(Thefethen - Ban, Lekcia 30)

Dalšie algoritmy na výpočet vl. hodnôt

Okrem QR algoritmu existujú aj iné algoritmy na výpočet vl. hodnôt, ktoré stoja za zmienku:

- Jacobiho algoritmus
- bisekcia
- rozdely a panuj (divide & conquer)

Jacobi

Tento algoritmus pochádza od Jacobiho (1845). Z pohľadu numeriky je zaujímavý preto, lebo sa dá počítať pomocou paralelných výpočtov, ale stále nedokáže konkurovať iným...

Myšlienka je nasledovná: vieme, že pre 5×5 maticu nedokážeme dostať vl. hodnoty priamym výpočtom. (avšak)

Pre 2×2 , 3×3 a 4×4 to však ide. Myšlienka teda bude diagonalizovať malé podmatice v matici A , potom ďalšiu a dúfať, že dosiahneme diagonalizáciu celej matice.

Existujú implementácie pre 6×6 matice, ale klasicky sa to robí pre 2×2 :

2×2 reálna symetrická matica sa dá diagonalizovať:

$$J^T \begin{bmatrix} a & d \\ d & b \end{bmatrix} J = \begin{bmatrix} * & 0 \\ 0 & * \end{bmatrix},$$

kde J je ortogonálna. J sa dá vybrať úccerými spôsobmi - obsahujúce vl. vektory matice $\begin{bmatrix} a & d \\ d & b \end{bmatrix}$, ale stále máme voľnosť vo výbere zvoznamenia.

Jednou možnosťou je

$$F = \begin{bmatrix} -c & s \\ s & c \end{bmatrix},$$

kde $s = \sin \theta$ a $c = \cos \theta$, potom $\det F = -1$ a ide o reflexiu.

Možne však v prvom stĺpci zmeniť znamienko a dostan

$$J = \begin{bmatrix} c & s \\ -s & c \end{bmatrix}$$

s $\det J = 1$, teda ide o rotáciu zachovávajúcu orientáciu.

Tento výber bude štandardný v Jacobiho algoritme.

da sa určiť, či správne θ pre diagonalizáciu $\begin{bmatrix} a & d \\ d & b \end{bmatrix}$

spĺňa $\tan(2\theta) = \frac{2d}{b-a}$.

Matrica s ~~rotáciou~~ rotáciou s takýmto θ sa nazýva Jacobiho rotácia.

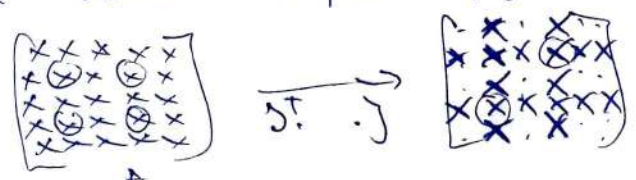
(takáto matrica má rovnaký tvar ako Givensova rotácia)
- lekcia 10, resp. MNLA, ktorá sa používala pri ~~tr~~
ortogonálnej triangularizácii $J^T A$

Nech $A \in M_{m \times m}(\mathbb{R})$ je symetrická (typu $m \times m$).

Jacobiho algoritmus pozostáva z opätovaného aplikovania podobnostnej transformácie $J^T A J$. Matrica J je teraz $m \times m$ identita okrem štyroch zložiek $J_{ii}, J_{ij}, J_{ji}, J_{jj}$, kde

obsahuje $\begin{bmatrix} c & s \\ -s & c \end{bmatrix}$.

Násobenie J^T zľava mení riadky i a j , násobenie J sprava mení stĺpce i, j .



v každom kroku vyrobíme nulý na pozíciách (i,j) a (j,i)

ale predostie nuly sa mohli zničiť.

Zyčajne však veľkosť týchto numerických zložitých klasme.

- ktoré a_{ij} vybrať na vynulovanie?

- ponúka sa výber najväčšia mimo diagonálna zložka.

V tom prípade dostaneme konvergenciu, lebo suma
stvorcov mimo diag. zložiek klasme asympt. o faktor

$$1 - \frac{2}{(n^2 - n)} \quad (\text{úloha 30.3})$$

po $O(n^2)$ operáciách (každé $O(n)$ operácií) máme pokles
o konst. faktor, teda konvergencia k presnosti $\epsilon_{\text{machine}}$ sa
dosiahne s $O(n^3 \log(\epsilon_{\text{machine}}))$ operáciami.

V skutočnosti bude konvergencia skôr kvadratická ako lineárna, teda
počet operácií bude $O(n^3 \log(|\log(\epsilon_{\text{machine}})|))$.

Typicky sa však zvykne eliminovať mimo diagonály cyklicky -
aby sme sa vyholi prekladaniu maxima, ktoré je $O(n^2)$
diaké. Napr. sa vezme $n(n-1)/2$ zložiek nad
diagonálou v poradi a_{12}, a_{13}, \dots

V takomto prípade sa tiež dosiahne asymptotická konvergencia.

Po jednom "zameraní" $n(n-1)/2$ párov mimo diagonálnych
zložiek sa typicky dosiahne lepšie ako ^{zlepšenie o} konstantný faktor,
konvergencia zvykne byť kvadratická.

Výhody Jacobiho algoritmu: v jednom kroku sa pracuje iba
s párom riadkov a párom stĺpcov \rightarrow dá sa paralelizovať.

Matrica nie je tridiagonalizovaná (Jacobiho rotácie

by túto štruktúru zničili.

Typický sa pre $m \leq 1000$ dosiahne konvergencie na menej než 10 zamerení, presnosť býva väčšia ako pri QR algoritme.

Rýchlosť však nie je taká dobrá ako QR algoritmus, v praxi je asi 10x pomalší.

Bisekcia

Ďalší z algoritmov na hľadanie vln. hodnôt - bisekcia - má praktický význam, keď sa hľadajú iba niektoré z vln. hodnôt. (hlavne tridiagonalizovanej matice).

Napr. 10% najväčších, najmenších 30, veľký v danom intervale.

Postupuje sa tak, že sa hľadajú korene char. polynómu

$$P(x) = \det(A - xI) \text{ poleňím intervalu - bisekciou.}$$

- lebo matica je reálna, symetrická, korene sú reálne.

Toto znie ako zlý nápad, lebo hľadanie koreňa polynómu

je nestabilný algoritmus, ako sme už spomenuli.

Lenže toto platí vtedy, keď hľadáme korene z koefficientov.

Pri bisekcii priamo hľadáme hodnotu $P(x)$ pre rôzne hodnoty x - bez hľadania koefficientov polynómu a

potom hľadáme korene podľa hodnôt: 

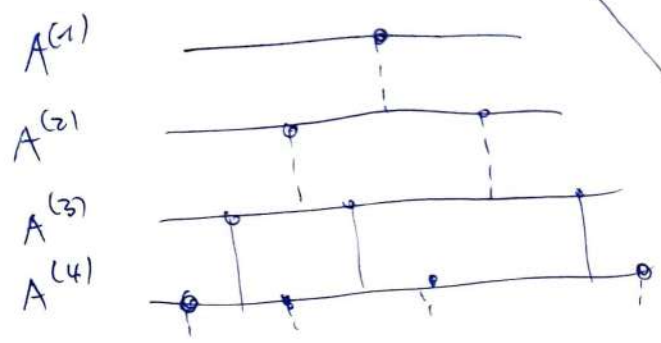
hodnotu $P(x) = \det(A - xI)$ a hľadáme Gaussovou elimináciou s pivotovaním, algoritmus tak bude stabilný.

Toto řešení velmi náročné a sofistikované, pokus
 neuvěřitelně dodatečně vlastnosti vl. hodnot a determinanty,
 které nie sú ani také samozřejmé.

Pro $n \times n$ reálnu symetrickou maticu označme $A^{(1)}, A^{(2)}, \dots, A^{(m)}$
 její hlavní (lavo) (pravo) podmatice velikosti $1 \times 1, 2 \times 2, \dots, m \times m$.

Potom vlastní hodnoty těchto matic sú prepletené:

(Zvlášť) $\lambda_j^{(k+1)} \leq \lambda_j^{(k)} < \lambda_{j+1}^{(k)}$



Ke A je tridiagonální, bez
 nul na vedlejších diagonálách,
 potom můžeme vl. hodnoty:
 $\lambda_1^{(k)} < \lambda_2^{(k)} < \dots < \lambda_n^{(k)}$,
 které sú striktne prepletené

Vďaka tomuto prepleteniu vieme existovať presne počet vl. hodnot
 v každom intervale. Napr. pre maticu

$$A = \begin{bmatrix} 1 & 1 & & \\ 1 & 0 & 1 & \\ & 1 & 2 & 1 \\ & & 1 & -1 \end{bmatrix}$$

máme $\det(A^{(1)}) = 1, \det(A^{(2)}) = -1, \det(A^{(3)}) = -3, \det(A^{(4)}) = 4$

→ preto počet záporných vl. hodnot pre $A^{(1)}$ je: 0
 $A^{(2)}$ 1
 $A^{(3)}$ 1
 $A^{(4)}$ 2

Vo všeobecnosti, symetrická tridiagonálna ^{$n \times n$ matice A} má počet záporných
 vl. hodnot rovný počtu zmien znamienok v postupnosti
 $1, \det(A^{(1)}), \det(A^{(2)}), \dots, \det(A^{(n)})$. — Sturmova postupnosť.

Toto funguje aj s nulovými determinantami,

priat "znemu znamienka" definojeme aj ako $\begin{pmatrix} + \\ 0 \end{pmatrix} \rightarrow \ominus$,

resp. $\begin{pmatrix} - \\ 0 \end{pmatrix} \rightarrow +$ ale nie $\pm \rightarrow 0$.

Posunutím A o aI , bI vieme ľahko zistiť počet vl. hodnôt v intervale (a, b) - počet v $(-\infty, b)$ mínus $\#v$ $(-\infty, a)$.

Este jedno poznamenanie k bisekcii:

$$\begin{bmatrix} a_1 & b_1 & & & \\ & a_2 & b_2 & & \\ & & a_3 & b_3 & \\ & & & \ddots & \ddots \\ & & & & a_{m-1} & b_{m-1} \\ & & & & & a_m \end{bmatrix}$$

pre tridiagonálnu maticu vieme počítať determinant pomocou Laplaceovho rozvoja, ktorý dá rekurentný vzťah s formou členmi:

$$\det(A^{(k)}) = a_k \det A^{(k-1)} - b_{k-1}^2 \det A^{(k-2)}$$

Spolu s posunom xI a zápisom $p^{(k)} = \det(A^{(k)} - xI)$

máme $p^{(k)}(x) = (a_k - x) p^{(k-1)}(x) - b_{k-1}^2 p^{(k-2)}(x)$. \otimes

dodefinovaním $p^{(-1)}(x) = 0$ a $p^{(0)}(x) = 1$ dostaneme aj rovnosť pre $k=1$ a 2 .

počítaním \otimes pre rôzne hodnoty x a sledovaním počtu zmien znamienok vieme zistiť počet vl. hodnôt v ľubovoľne malom intervale.

Cena je iba $O(m)$, teda $O(m \log(\epsilon_{\text{machine}}))$ pre nájdenie vl. hodnôt s presnosťou $\epsilon_{\text{machine}}$.

Ak treba iba mátor vl. hodnôt, toto je úspora oproti $O(m^2)$ ďalšej iteratívnej časti QR algoritmu.

- Opäť pri viacerých procesoroch môžeme hľadať vl. hodnoty paralelne.

Divide-and-Conquer

- najväčší pokrok od QR algoritmu zo 80tych rokov

1981 - Cuppen - pre výpočet vl. vektorov & takých výšky.

(ka prehlád: (detaily sú veľmi dôležité, lebo algoritmus nie je stabilný pokiaľ sa umiestnia ~~po~~ správne)
- doladenie trvalo 10 rokov...

$T \in \mathbb{R}^{m \times m}(\mathbb{R})$ je symetrická, reálna, tridiagonálna, ireducibilná (žiadne nuly na vedľajších diagonálach).

Potom pre n $1 \leq n \leq m$ T sa dá rozdeliť

ako:

$$T = \begin{bmatrix} T_1 & \beta \\ \beta & T_2 \end{bmatrix} = \begin{bmatrix} T_1 & \\ & T_2 \end{bmatrix} + \begin{bmatrix} \beta & \beta \\ \beta & \beta \end{bmatrix}$$

T_1 je ľavá-horná časť $n \times n$ podmatice, T_2 je pravá-dolná $(m-n) \times (m-n)$ a $\beta = t_{n+1,n} = t_{n,n+1} \neq 0$.

Rozdiel medzi T_1 a \hat{T}_1 je v zložke n, n ; $t_{n,n}$ sa nahradiť $t_{n,n} - \beta$.
 T_2 a \hat{T}_2 sa líšia v $n+1, n+1$: $t_{n+1,n+1} \dots t_{n+1,n+1} - \beta$

Emery & T_1 a T_2 sa robia tak, aby matica napravo mala hodnotu 1.

Tridiagonálna matica T sa dá napísať ako reducibilná tridiagonálna matica (dva tridiagonálne bloky) spolu s korekciou hodnoty 1.

Algoritmus rozdeľuj & panuj rozdelí T na časti $\approx m/2$.

Ak poznáme vl. hodnoty (a vektory) \hat{T}_1, \hat{T}_2 , chceme

najst súvislost s rch hodnotami matice T.

Rekurzívne rozdělíme T_1 a T_2 na menšie bloky
až dojdeme k 1×1 blokom (a korekciám) alebo
blokom ^{dostatočne} ~~menšej~~ veľkosti, na ktoré použijeme QR algoritmus
(toto je efektívnejšie)

Ako teda prepojiť vl. hodnoty matice T_1, T_2 a matice T?

Najme diagonalizácie $T_1 = Q_1 D_1 Q_1^T$ a $T_2 = Q_2 D_2 Q_2^T$.

potom $T = \begin{bmatrix} Q_1 & \\ & Q_2 \end{bmatrix} \left(\begin{bmatrix} D_1 & \\ & D_2 \end{bmatrix} + \beta z z^T \right) \begin{bmatrix} Q_1^T \\ & Q_2^T \end{bmatrix}$,

kde $z^T = (q_1^T, q_2^T)$ pričom q_1^T je posledný riadok Q_1
a q_2^T je prvý riadok Q_2 .

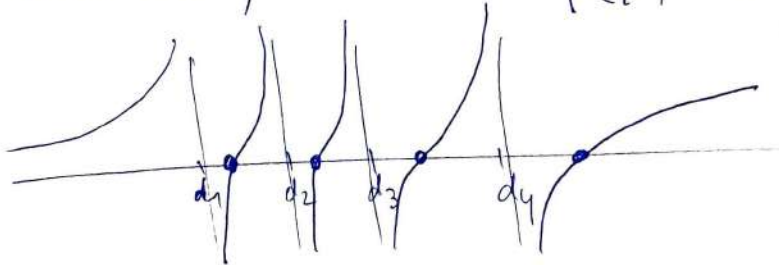
Treba teda najst vl. hodnoty diagonálnej matice s korekciou
hodnoty 1.

Zjednodušíme si značenie: chceme najst vl. hodnoty matice
 $D + \beta w w^T$, kde $D = \text{diag}(d_j)$ je diagonálna s kladnými
člčkami $\{d_j\}$ a $w \in \mathbb{R}^m$ je vektor.
(ak $\beta > 0$ berieme β znamienko \mp , ak $\beta < 0$ zobrali by sme)

$D - w w^T$.

Predpokladáme, že $w_j \neq 0$ pre $\forall j$, inak by bol problém
reducibilný. Potom vl. hodnoty $D + \beta w w^T$ sú korene

racionálnej funkcie $f(\lambda) = 1 + \sum_{j=1}^m \frac{w_j^2}{d_j - \lambda}$



to sa dá náhľadnúť z nasledovného:

$$(D + w w^T) q = \lambda q \text{ pre } q \neq 0, \text{ teda}$$

$$(D - \lambda I) q + w (w^T q) = 0$$

$$\text{teda } q + (D - \lambda I)^{-1} w (w^T q) = 0$$

$$w^T q + w^T (D - \lambda I)^{-1} w (w^T q) = 0$$

$$\text{čo je } f(\lambda) (w^T q) = 0.$$

$$\text{Ak by } w^T q = 0, \text{ potom } (D + w w^T) q = D q = \lambda q \rightarrow$$

q je vl. vektor D , teda $w_j = 0$ ale to dá $w_j \neq 0$

Preto ak je q vl. vektor $D + w w^T$, ~~to~~ s vl. hodnotou λ ,

potom $f(\lambda)$ musí byť 0.

Naopak, $f(\lambda)$ má presne m koreňov.

$f(\lambda) = 0$ sa nazýva sekulárna rovnica.

V každom kroku divide-and-conquer algoritmu sa

korene $f(\lambda)$ najdu Newtonovou metódou -

stačí $O(1)$ iterácií (resp. $O(\log(\log(\epsilon_{\text{machine}})))$ - ak

$\epsilon_{\text{machine}}$ berieme ako premennú)

na jeden koreň - teda $O(m)$ ~~operácií~~ flopar pre jeden

koreň $m \times m$ matice, resp. $O(m^2)$ celkovo.

Ak uvádzame 0 delení na prvej polovici, celkovo

potrebujeme $O(m^2 + 2(\frac{m}{2})^2 + 4(\frac{m}{4})^2 + 8(\frac{m}{8})^2 + \dots + m(\frac{m}{m})^2)$

flopar, čo dáva ~~Okm~~ r limitu $O(m^2)$ (a nie $O(m^2 \log m)$)

Teda počít operácií bude ^{radno} $\sqrt{m^3}$ nebo $\sqrt{m^3}$ ~~nebo~~ \approx QR algoritmo.

(3.9)

Zahát nevidno přesu by divide-and-conquer ~~ne~~ přinášal
úhodu.

- Vo fáze 1 (Lekcia 25) potřebujeme $\frac{4}{3}m^3$ flopr

a vo fáze 2 se zda zlepšenie $O(m^2)$ nepodstatné.

Uložmo však začne hraf, keď budeme počítat udelen
v. hodnoty ale aj v. velkoy.

Potom si musíme pri QR algoritme pamätat aj

matice $Q^{(k)}$, resp. Q^0 z fázy 1.

Tým počít operácií stupne na $\frac{8}{3}m^3$ vo fáze 1.

a vo fáze 2 treba $O(m^3)$ (násobíme $Q = Q^{(1)} Q^{(2)} \dots Q^{(r)}$)

(v praxi $6m^3$)

Divide-and-conquer tu uhráva, lebo v každom kroku stačí počítat

skalárnu funkciu $f(\lambda)$ a nie ortogonálnu maticu $Q^{(j)}$,

pričom QR algoritmus manipuluje s $Q^{(5)}$

- ak sa počítá počít operácií - $O(m^3)$ v divide-and-conquer

Zodpovedá násobeniu
$$\begin{bmatrix} Q_1 & Q_2 \end{bmatrix} \left(\begin{bmatrix} D_1 & \\ & D_2 \end{bmatrix} + \beta z z^T \right) \begin{bmatrix} Q_1^T \\ Q_2^T \end{bmatrix}$$

- Sumarizim cez všetky kroky dostaneme $\frac{4}{3}m^3$ flopr

zlepšenie oproti $\approx 6m^3$. Spolu s $\frac{8}{3}m^3$ flopr vo

fáze 1 to je zlepšenie $\approx 9m^3$ na $4m^3$.

V skutočnosti divide-and-conquer v praxi funguje ešte lepšie - matice Q_j a vektor z vydrážajú

numericky niekde - zložky majú hodnoty nieštie ako strojová presnosť. - vďaka niekosti možeme použiť tzv.

numerickú defláciu - rozdeliť na triidiagonálne problémy hľadania vl. hodnôt pre matice menších koreňov.

V typickom prípade bude vo fáze 2 potrebných rádovo menej ako n^3 flopor, čím sa dosiahne kombinované

Fáza 1 + Fáza 2 $\frac{8}{3} n^3$ flopor.

Dôvodom tohto fenoménu je tzv. "exponenciálne" lokalizovanie vl. vektorov pre triidiagonálne matice (viz. 30.7).

Existuje veľa variant divide-and-conquer algoritmov,

lebo sa dajú robiť i iné korekcie

- iné hodnoty 1 kvôli stabilite

- ~~upok~~ aktualizácie hodnoty 2

- rôzne metódy hľadania koreňov $f(x)$

- pre veľké n sa ihak hľadajú Q_j (multiple expansions)

atď...